

УДК 621.375.9 : 535

## ИССЛЕДОВАНИЕ КОГЕРЕНТНЫХ ХАРАКТЕРИСТИК РУБИНОВОГО ЛАЗЕРА С УПРАВЛЯЕМЫМ МОМЕНТОМ ИЗЛУЧЕНИЯ

А. Г. Смирнов, Д. И. Стаселько и В. Е. Терентьев

Приводятся результаты исследования пространственно-временной когерентности одномодового рубинового лазера, управление моментом излучения которого осуществляется с помощью дифракции на бегущих модулированных ультразвуковых волнах в фототропной среде. Исследованный лазер характеризуется высокой пространственно-временной когерентностью и позволяет осуществлять жесткую временную синхронизацию излучения с исследуемым процессом с ошибкой не более десятых долей микросекунды.

Для многих практических применений голографии необходим мощный источник коротких световых импульсов, обладающий высокой пространственно-временной когерентностью и позволяющий осуществлять временную синхронизацию излучения с исследуемым процессом. В работе [1] в качестве такого источника использовался одномодовый рубиновый лазер, модуляция добротности которого осуществлялась с помощью электрооптического затвора Покиельса. Электрооптические затворы обеспечивают высокую точность синхронизации, но характеризуются сложностью конструкции, а также большой амплитудой управляющего напряжения, достигающей десятков киловольт.

По точности синхронизации к электрооптическим затворам близок дифракционный модулятор добротности на бегущих модулированных ультразвуковых волнах в фототропной среде [2]. Последний вместе с тем обладает рядом преимуществ по сравнению с электрооптическими затворами: на три порядка меньшей амплитудой управляющего напряжения, более простой и надежной конструкцией, низкими потерями излучения в открытом состоянии.

В данной статье приводятся результаты экспериментального исследования когерентных характеристик одномодового рубинового лазера, момент генерации которого управляется с помощью дифракционного модулятора добротности.

Эксперименты проводились на установке, в которой применены одномодовый рубиновый лазер, схема исследования его параметров, а также схема получения голограмм [3]. Для синхронизации лазерного импульса с исследуемым процессом дифракционный модулятор, описанный в работе [2], устанавливался между кристаллом рубина и непрозрачным зеркалом.

Сравнивались характеристики моноимпульсов, сформированных при двух режимах управления — с помощью только фототропного затвора, превышение энергии накачки  $W_n$  над пороговым значением составляло  $W_n/W=1.4$  и с помощью дифракции на двух бегущих во взаимно перпендикулярных направлениях модулированных ультразвуковых волнах в том же фототропном затворе  $W_n/W=1.6$ . В дальнейшем для сокращения последний режим будем называть управлением с помощью ультразвука.

При управлении с помощью ультразвука разброс момента генерации моноимпульсов от вспышки к вспышке относительно заданного момента времени уменьшался более чем на порядок по сравнению с управлением только фототропным затвором и составлял  $\Delta t \approx 0.4$  мкsec.

Одновременно наблюдалось сокращение длительности моноимпульсов в 1.5 раза (до значения  $\tau = 30$  нсек.), а также увеличение энергии генерации в 1.2 раза (до 30 мдж).

Большая величина  $\Delta t$  по сравнению со значением, полученным в [2] для  $W_n/W = 2.5$ , а также незначительное увеличение энергии генерации могут быть связаны с работой при небольшом превышении энергии накачки над пороговым значением  $W$ . При этом усиление в активной среде лазера, а также время линейного развития моноимпульса мало отличаются от соответствующих значений, достижимых в случае только фототропной среды.

На рис. 1 представлены диаграммы направленности моноимпульсного излучения исследованного лазера при управлении с помощью только фототропной среды (кривая *a*), а также при управлении с помощью ультразвука (кривая *b*). Кривые получены фотометрированием соответствующих фотоснимков углового распределения излучения.

Из рисунка можно видеть, что расходимость излучения в нулевом порядке практически одинакова в обоих режимах и близка к дифракционной (кривая *b*).

Отсюда можно сделать вывод, что управление с помощью ультразвука не приводит к заметному ухудшению пространственной структуры поля излучения с помощью ультразвука

Рис. 1. Угловое распределение излучения.  
*a* — моноимпульс, сформированный с помощью только фототропного затвора.  
*b* — моноимпульс, сформированный с помощью дифракции на двух бегущих во взаимноперпендикулярных направлениях модулированных ультразвуковых волнах в том же фототропном затворе. Интенсивность ультразвука соответствует уменьшению интенсивности нулевого дифракционного максимума на  $\Delta I = 0.98$  для излучения  $\lambda = 632.8$  нм. Длительность модулирующего импульса равна 5.1 мкsec.  
 $\delta$  — расчет дифракционной расходимости. В качестве излучающей поверхности принята область распределения поля на выходном зеркале по уровню 0.03.

лучения лазера. Вместе с тем при управлении картина поля отличается рядом особенностей: наличием слабых дополнительных максимумов в дальней зоне излучения (интенсивность этих максимумов составляла 5–10% от интенсивности основного) и периодических изменений интенсивности излучения полос на выходном зеркале лазера (рис. 2, б). Эти особенности можно объяснить неполным затуханием ультразвуковой волны в момент генерации моноимпульсов. Действительно, положение дополнительных максимумов, наблюдаемых при углах  $\Theta = \pm 8'$  (рис. 1), соответствует дифракционным углам, определяемым выражением  $\Theta = \pm \lambda/\Lambda$ , где  $\lambda = 694.3$  нм — длина волны излучения;  $\Lambda = 0.3$  мм — длина волны ультразвука частотой 5 МГц в нитробензоле. Распределение поля на выходном зеркале лазера может быть связано с интерференцией основного и дополнительных дифракционных максимумов.

Временная когерентность оценивалась по интерферограммам излучения, полученным на эталоне Фабри—Перо с базой 30 мм. При энергии накачки  $W_n = 1.6$  W ширина спектра составляла менее 0.002 Å и была меньше, чем расстояние между соседними аксиальными модами резонатора (0.003 Å). Отсюда следует, что лазер работал в одночастотном режиме.

С увеличением энергии накачки до  $W_n = 1.8$  W величина разброса моментов генерации моноимпульсов уменьшалась в 2 раза. Однако при

ерации  
момента  
тением

ульсов  
генера-

м в [2]  
ерации  
ии на-  
т среде  
отли-  
их зна-  
случае-  
ы.

ы диа-  
моно-  
иссле-  
управ-  
только  
вая а),  
с по-  
вазя б).

метри-  
ующих  
распре-

видеть,  
ния в  
тически  
имах и  
(кри-

ть вы-  
мощью  
к за-  
стран-  
ся из-  
извука  
допол-  
ь этих  
риоди-  
зеркале  
атуха-  
Дей-  
х при-  
деляе-  
чения;  
изоле.  
вязано  
ксими-  
злуче-  
нергии  
была  
резона-  
жиме.  
зброса  
о при

этом спектр генерации не всегда состоял из одной линии (рис. 3, а, б). В этих условиях для получения устойчивого одночастотного режима требовалось введение в резонатор лазера дополнительного частотного селектора — наклонной плоскопараллельной стеклянной пластины.

Таким образом, увеличивая энергию накачки и улучшая селектирующие свойства резонатора, можно было значительно сократить разброс момента генерации моноимпульсов, не ухудшая временной когерентности лазера.

Приведенные результаты показывают, что исследованный руби-



Рис. 2. Распределение поля на выходном зеркале.  
а — режим тот же, что для рис. 1а, б — режим тот же, что для рис. 1б.

а — режим тот же, что для рис. 1а, б — режим тот же, что для рис. 1б.

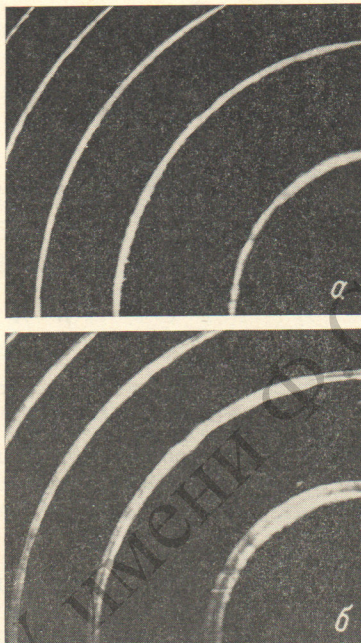


Рис. 3. Спектрограммы излучения

$$a - \frac{W_H}{W} = 1.6; b - \frac{W_H}{W} = 1.8.$$

новый лазер с управляемым моментом излучения сочетает высокую пространственно-временную когерентность с малой нестабильностью момента генерации моноимпульсов, составляющей порядка десятых долей мксек. Названные характеристики позволили применить такой источник для голографической регистрации в заданной фазе процессов, протекающих за время порядка мксек, в том числе процессов горения и взрывов, а также для регистрации быстродвижущихся потоков частиц по методу поворота волнового фронта [4].

Авторы выражают благодарность И. И. Адриановой, Ю. Н. Денисюку, Ю. В. Попову за постоянный интерес и внимание к работе.

#### Литература

- [1] A. Hirth. Compt. Rend., 268, 961, 1969.
- [2] И. И. Адрианова, Ю. В. Попов, В. Е. Терентьев. Опт. и спектр., 27, 968, 1969.
- [3] Д. И. Стаселько, А. Г. Смирнов, Ю. Н. Денисюк. Опт. и спектр., 25, 910, 1968.
- [4] Ю. Н. Денисюк, Д. И. Стаселько, В. П. Минина. Опт.-мех. промышл., 11, 73, 1968.

Поступило в Редакцию 9 октября 1970 г.